

## Численное моделирование „тонкой“ структуры доменных границ в редкоземельных ортоферритах

© Е.Г. Екомасов, М.А. Шабалин

Башкирский государственный университет,  
450074 Уфа, Россия

(Поступила в Редакцию 15 ноября 2002 г.  
В окончательной редакции 31 января 2003 г.)

С помощью численных методов найдена структура одиночной доменной границы (ДГ) с линией Блоха в редкоземельных ортоферритах для значений параметров материала, лежащих за рамками предельного случая, допускающего аналитическое решение. Определены закон разворота вектора намагниченности в такой ДГ, эффективные ширины ДГ и линии, энергия, приходящаяся на единицу длины линии. Показано, что более точный учет двумерности ДГ при использовании численных методов позволяет выявить существенные отличия в „тонкой“ структуре ДГ по сравнению со случаем использования приближенных аналитических методов.

Теоретически и экспериментально однородные доменные границы (ДГ) в редкоземельных ортоферритах (РЗО), являющихся неколлинеарными антиферромагнетиками со слабым ферромагнетизмом (химическая формула —  $RFeO_3$ , где  $R$  — редкоземельный элемент), к настоящему времени изучены достаточно подробно (см., например, [1–8]). С другой стороны, в отличие от случая феррит-гранатов пока не найдено надежных способов зарождения, наблюдения и изучения „тонкой“ структуры ДГ в РЗО. Возможно, это связано с наличием в них большого значения плоскостной анизотропии, в обычных условиях препятствующей выходу векторов ферромагнетизма  $\mathbf{m}$  и антиферромагнетизма  $\mathbf{l}$  из плоскости их разворота в однородной ДГ. Поэтому теоретически [9] было предсказано, что более вероятно образование „тонкой“ структуры вблизи фазового перехода в самой ДГ или вблизи поверхности образца, где может измениться соотношение между константами анизотропии. В последнее время появились экспериментальные работы [10–14], результаты которых можно интерпретировать как наблюдение динамических линий на движущейся со сверхзвуковой скоростью неелевской ДГ в РЗО. Однако из этих экспериментов, вообще говоря, неясно, какой конкретно тип „тонкой“ структуры ДГ реализуется на практике.

Как известно [3], проблема теоретического описания „тонкой“ структуры ДГ в РЗО — это проблема решения системы связанных нелинейных дифференциальных уравнений второго порядка (в предельном случае сводимых к уравнению sin-Gordon). Причем аналитических методов для их решения в общем случае пока не найдено. Для случая, когда  $Q = |(K_{ab} - K_{cb})/K_{cb}| \gg 1$  (где  $K_{ab}$  и  $K_{cb}$  — эффективные константы анизотропии в плоскостях  $ab$  и  $bc$  соответственно), используя приближенные аналитические методы, было получено, что характеристики таких ДГ, представляющих собой чередование участков с поворотом и без поворота  $\mathbf{m}$ , должны существенно отличаться от характеристик ДГ с линиями Блоха в ферромагнетиках [15–17]. С другой стороны, имеется также много работ по исследованию

двумерной структуры ДГ магнетиков с помощью численных методов. Например, большие успехи достигнуты для случая тонких магнитных пленок (см. обзор [18]). В данной работе с помощью численных методов для случая РЗО с положительным значением параметра  $Q$  изучается структура статической ДГ с линией Блоха.

Будем рассматривать бесконечную пластину РЗО, находящуюся в высокотемпературной магнитной фазе  $G_x F_z$ , в двухподрешеточной модели, состояние которой описывается двумя векторами намагниченности подрешеток  $\mathbf{M}_1$  и  $\mathbf{M}_2$ , равными по модулю ( $|\mathbf{M}_1| = |\mathbf{M}_2| = M_0$ ). Тогда вектора  $\mathbf{m}$  и  $\mathbf{l}$  можно определить как  $\mathbf{m} = (\mathbf{M}_1 + \mathbf{M}_2)/2M_0$ ,  $\mathbf{l} = (\mathbf{M}_1 - \mathbf{M}_2)/2M_0$ . Считаем, что выполняются соотношения:  $m^2 + l^2 = 1$ ,  $(\mathbf{m}\mathbf{l}) = 0$ . Оси декартовых координат  $x, y, z$  будем считать ориентированными вдоль кристаллографических осей  $a, b, c$  соответственно. Плотность энергии магнитной подсистемы РЗО запишем в виде [3]

$$\omega = \frac{a}{2} \mathbf{m}^2 + \frac{a_1}{2} l_x^2 + \frac{a_3}{2} l_z^2 + d_1 m_x l_z - d_3 m_z l_x + \frac{A}{2} \left( \frac{\partial \mathbf{l}}{\partial x_\delta} \right)^2, \quad (1)$$

где  $a, A$  — соответственно константы однородного и неоднородного обмена;  $d_i, a_i$  — константы Дзялошинского и анизотропии;  $\{x_\delta\} = x, y, z$ . Для случая  $|\mathbf{m}|^2 \ll |\mathbf{l}|^2 \approx 1$  можно вектор  $\mathbf{m}$  выразить через  $\mathbf{l}$  [4]

$$\mathbf{m} = \frac{1}{a} [\mathbf{d}\mathbf{l}], \quad (2)$$

где  $\mathbf{d} = d\mathbf{e}_y$ ,  $d_1 = d_3 = d$ . Тогда в угловых переменных  $\mathbf{l} = l(\cos \theta, \sin \theta \sin \varphi, \sin \theta \cos \varphi)$ , уравнения, описывающие структуру ДГ в статическом случае имеют вид [9]

$$A \Delta \theta - (K_{ab} - K_{cb} \cos^2 \varphi + A(\nabla \varphi)^2) \sin \theta \cos \theta = 0, \quad (3)$$

$$A \sin^2 \theta \Delta \varphi - K_{cb} \sin^2 \theta \sin \varphi \cos \varphi + 2A \sin \theta \cos \theta \nabla \theta \nabla \varphi = 0, \quad (4)$$

где  $K_{ab} = \frac{d^2}{a} - a_1$ ,  $K_{cb} = \frac{d^2}{a} - a_3$ .

Рассмотрим с помощью численных методов двумерные решения системы уравнений (3)–(4) для случая неелевской ДГ с поворотом  $\mathbf{m}$  (использовавшейся в экспериментах [10–14]). Плоскость ДГ параллельна плоскости  $yz$ , а вектора  $\mathbf{m}$  и  $\mathbf{l}$  в домене направлены вдоль осей  $z$  и  $x$  соответственно. Известное приближенное аналитическое решение системы уравнений (3)–(4) имеет вид [9]

$$\theta_0(x) = \arctg(\exp(x/\delta)), \tag{5}$$

$$\varphi_0(y) = \arctg(\exp(y/Q^{1/2}\delta_0)), \tag{6}$$

где  $\delta = \delta_0(1 + 2Q^{-1} \sin^2 \varphi_0)^{-1/2}$  — ширина ДГ,  $\delta_0 = \sqrt{A/(K_{ab} - K_{cb})}$ ;

$$\theta_0(\pm\infty) = 0, \pi; \quad \varphi_0(\pm\infty) = 0, \pi. \tag{7}$$

Выражение (5) описывает основную доменную структуру, а (6) — „тонкую“ структуру ДГ со  $180^\circ$  вертикальной линией Блоха.

Считаем теперь, что  $\theta = \theta(x, y)$  и  $\varphi = \varphi(x, y)$ . Построенный алгоритм численного интегрирования системы уравнений (3)–(4) работал следующим образом: на первом шаге из уравнения (3) при заданных начальных значениях в виде (5)–(6) находилось новое решение  $\theta_1(x, y)$ , которое затем подставлялось в уравнение (4) для нахождения значения  $\varphi_1(x, y)$ . На следующем шаге процедура повторялась с использованием  $\theta_1(x, y)$  и  $\varphi(x, y)$  в качестве начальных значений. Счет велся до тех пор, пока не выполнялось условие  $|\theta_n - \theta_{n-1}| < \varepsilon, |\varphi_n - \varphi_{n-1}| < \varepsilon$ , где  $\varepsilon = 0.0001$  rad. Для численного решения исходных уравнений использовался метод релаксации аналогично работе [19]. Численный расчет проводился с помощью использования сетки  $100 \times 100$  ячеек. Заметим, что указанный алгоритм автоматически реализует минимум энергии линии, рассчитанной на единицу ее длины вдоль оси  $z$

$$W_L = \frac{1}{2} \iint_S \left( (\nabla\theta)^2 + \sin^2 \theta (\nabla\varphi)^2 + \sin^2 \theta (1 + Q^{-1} \sin^2 \varphi) \right) dx dy - W_0 \lambda, \tag{8}$$

где  $W_0$  — энергия однородной ДГ,  $S$  — область интегрирования обычно выбирались в виде квадрата с размерами  $10\delta_0 \times 10\delta_0$ ,  $\lambda$  — размер области интегрирования вдоль оси  $y$ .

В результате численных расчетов найдены искомые зависимости  $\theta(x, y), \varphi(x, y)$ , из которых определялись „классические“ параметры (закон разворота намагниченности, ширина ДГ и линии, энергия полученной структуры и т.п.), определяющие вид структуры ДГ с линией Блоха для различных значений  $Q$ . На рис. 1 представлено полученное распределение вектора антиферромагнетизма в  $180^\circ$  неелевской ДГ с поворотом  $\mathbf{m}$  с вертикальной линией, локализованной в точке  $(0, 0)$

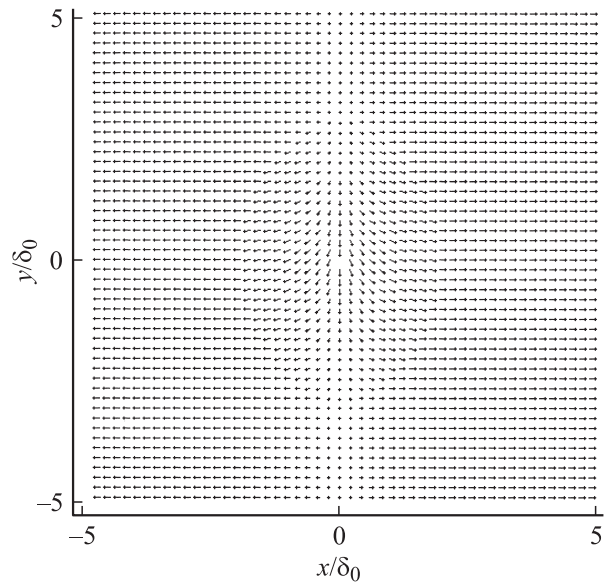


Рис. 1. Распределение вектора антиферромагнетизма в  $180^\circ$  неелевской ДГ с поворотом  $\mathbf{m}$  с вертикальной линией, локализованной в точке  $(0; 0)$  ( $Q = 1$ ).

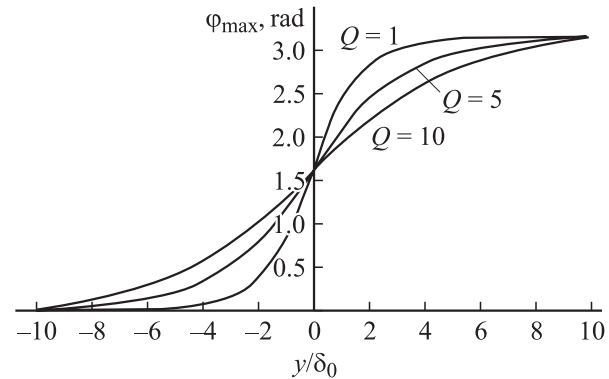


Рис. 2. Зависимость максимального угла  $\varphi_{\max}$  выхода вектора антиферромагнетизма из  $ac$ -плоскости от координаты  $y$ .

для случая  $Q = 1$ . Схематически разворот  $\mathbf{l}$  в такой ДГ можно описать следующим образом: вектор  $\mathbf{l}$  выходит из  $ac$ -плоскости (своей плоскости разворота с однородной ДГ) с максимальным отклонением в центре ДГ, причем это отклонение  $\varphi$  увеличивается еще и с приближением к центру линии, где ДГ с поворотом  $\mathbf{m}$  переходит в ДГ без поворота  $\mathbf{m}$ . Зависимость максимального угла  $\varphi_{\max}$  выхода  $\mathbf{l}$  из  $ac$ -плоскости от координаты  $y$  для различных значений  $Q$  приведена на рис. 2.

Зависимость эффективной ширины ДГ (определяемая „классически“ по Лилли) от координаты  $y$  вдоль ДГ для случая разных значений  $Q$  приведена на рис. 3. Видно, что она существенно зависит от  $Q$  и сильно отличается от аналитической  $\delta = \delta_0(1 + Q^{-1} \sin^2 \varphi_0(y))^{-1/2}$  при малых  $Q$ . Можно отметить также, что с уменьшением  $Q$  заметно уменьшается область ДГ, где она отличается от однородной, что хорошо согласуется с зависимостью эффективной ширины линии  $\Lambda$  в центре ДГ от парамет-

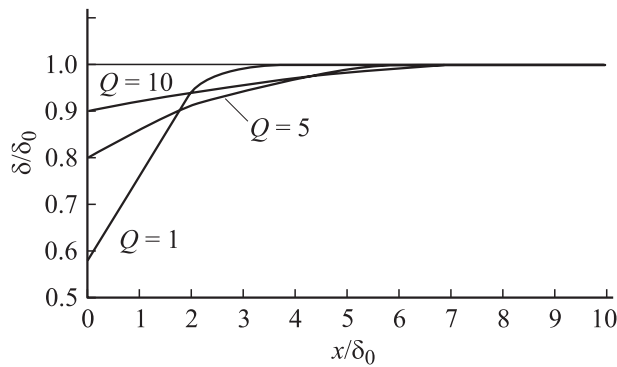


Рис. 3. Зависимость эффективной ширины ДГ от координаты  $x$  вдоль ДГ.

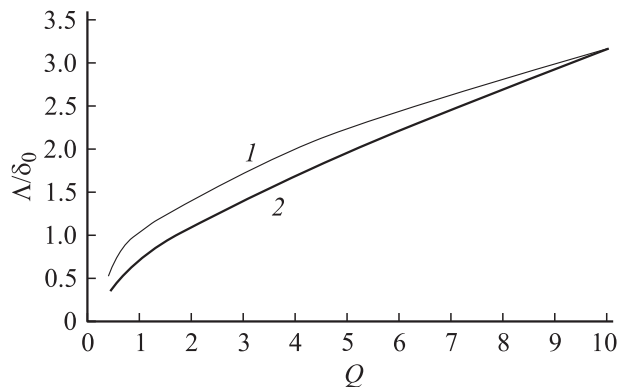


Рис. 4. Зависимость эффективной ширины линии  $\Lambda$  в центре ДГ от параметра  $Q$ . 1 — аналитическое решение, 2 — численное решение.

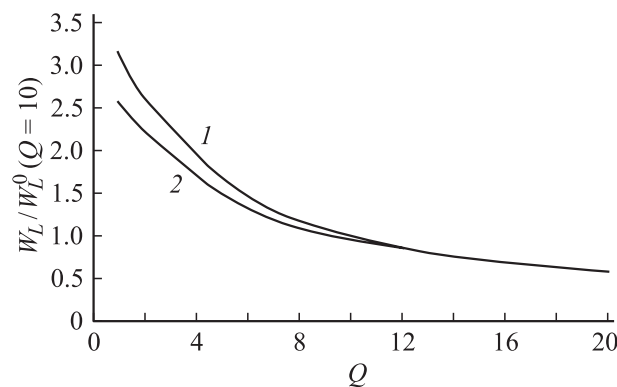


Рис. 5. Зависимость энергии  $W_L$ , приходящейся на единицу длины линии, нормированной на ее значение, найденное аналитически  $W_L^0$ . 1 — аналитическое решение, 2 — численное решение.

ра  $Q$  (рис. 4). Если в аналитическом случае  $\Lambda/\delta_0 = Q^{1/2}$ , то в нашем случае зависимость имеет практически линейный вид, начиная с  $Q = 2$ . Зависимость энергии  $W_L$ , приходящейся на единицу длины линии, нормированной на ее значение, найденное аналитически  $W_L^0 = 4AQ^{-1/2}$  при  $Q = 10$ , приведена на рис. 5. Заметим, что, если при  $Q \geq 10$  величина рассчитанной энергии практически

совпадает с аналитической, при  $Q = 1$  она уже на 19% меньше.

Из анализа результатов численных расчетов следует, что если для случая  $Q \geq 10$  (область  $Q \gg 1$ , где хорошо работает аналитический метод) найденная численно структура ДГ с большой точностью совпадает с аналитической, то с уменьшением  $Q$  различие между ними значительно увеличивается. Также можно отметить, что найденные значения  $\theta(x, y)$  и  $\varphi(x, y)$  существенно двумерны в области локализации линии и эта двумерность увеличивается с уменьшением  $Q$ , приводя к значительным изменениям структуры ДГ с линией Блоха по сравнению с решением (5)–(6). Возможно, с этим связано то, что пока не удастся полностью описать с помощью приближенных аналитических методов результаты некоторых экспериментов (например, зависимость скорости линии от скорости ДГ [14]), проведенных при комнатных температурах, когда значения  $Q$  в  $\text{YFeO}_3$  могут быть даже меньше единицы [20], и тогда очевидно, что для адекватного описания динамики линий в РЗО оказывается важен более точный учет двумерности значения углов  $\theta$  и  $\varphi$ .

## Список литературы

- [1] К.П. Белов, А.К. Звездин, А.М. Кадомцева, Р.З. Левитин. Ориентационные переходы в редкоземельных магнетиках. Наука, М. (1980).
- [2] А.Ф. Андреев, В.И. Марченко. УФН **130**, 1, 39 (1980).
- [3] М.М. Фарзтдинов. Физика магнитных доменов в антиферромагнетиках и ферритах. Наука, М. (1981).
- [4] V.G. Barjaktar, M.V. Chetkin, B.A. Ivanov, S.N. Gadetskiy. Dynamics of topological magnetic solitons. Experiment and theory. Tracts in Modern Physics. Vol. 129. Springer-Verlag, Berlin (1994).
- [5] А.К. Звездин, А.А. Мухин. ЖЭТФ **102**, 2, 577 (1992).
- [6] N. Papanicolaou. Phys. Rev. B **55**, 18, 55 (1997).
- [7] М.А. Шамсутдинов, С.А. Ниязгулов. ФММ **85**, 6, 23 (1998).
- [8] V.S. Gerusimchuk, A.L. Sukstanskij. Phys. Rev. B **59**, 10, 6966 (1999).
- [9] М.М. Фарзтдинов, М.А. Шамсутдинов, А.А. Халфина. ФТТ **21**, 1522 (1979).
- [10] M.V. Chetkin, Yu.N. Kurbatova, A.I. Akhutkina. J. Appl. Phys. **79**, 8, 6132 (1996).
- [11] М.В. Четкин, Ю.Н. Курбатова, А.И. Ахуткина, Т.Б. Шапаева. ЖЭТФ **115**, 2160 (1999).
- [12] M.V. Chetkin, Yu.N. Kurbatova. Phys. Lett. A **260**, 108, 127 (1999).
- [13] М.В. Четкин, Ю.Н. Курбатова. ФТТ **43**, 1503 (2001).
- [14] М.В. Четкин, Ю.Н. Курбатова, Т.Б. Шапаева. Письма в ЖЭТФ **73**, 6, 334 (2001).
- [15] Ю.В. Мелихов, О.А. Переход. УФН **28**, 5, 713 (1983).
- [16] М.М. Фарзтдинов, М.А. Шамсутдинов, Е.Г. Екомасов. ФТТ **30**, 6, 1866 (1988).
- [17] Е.Г. Екомасов, М.А. Шабалин. ФТТ **43**, 7, 1211 (2001).
- [18] Б.Н. Филиппов. ФНТ **28**, 10, 991 (2002).
- [19] А.Б. Борисов, А.П. Танкеев, А.Г. Шагалов. ФТТ **31**, 5, 140 (1989).
- [20] А.Э. Егоян, А.А. Мухин. Кратк. сообщ. по физике ФИАН **9-10**, 55 (1993).